

# 에폭시 樹脂 콘크리트의 硬化收縮 및 크리이프 特性

Characteristics of the Hardening Shrinkage and  
Creep of Epoxy Resin Concrete

許 南 暢\* 延 圭 錫\*\*  
Hur, Nam Suk Yeon, Kyu Seok

## 要 著

이 연구는 充填材의 有無에 따른 에폭시 樹脂 콘크리트의 硬化收縮과 初期 크리이프 特性을 實驗的으로 明確한 것이다.

그 結果, 硬化收縮은 保管溫度가 높아질수록 커졌고, 充填材를 사용한 경우가 온도의 영향을 더 크게 받는 것으로 나타났다. 또한, 初期 크리이프는 載荷時間과 應力-強度化가 增加함에 따라 증가했고, 疲勞變形이 클수록 커졌는데, 이는 充填材를 첨가한 경우가 더 크게 나타났다.

## ABSTRACT

This study was accomplished to investigate the characteristics of hardening shrinkage and initial creep of epoxy resin concrete depending on the presence of filler.

According to the test results, the hardening shrinkage was increased with increment of storage temperature, and the effect of temperature on the hardening shrinkage of epoxy resin concrete with 6% filler was more significant than that of epoxy resin concrete without filler. Also, the initial creep strain was increased with loading times, stress-strength ratio and elastic strain, and the values for epoxy resin concrete with 6% filler are higher than that for epoxy resin concrete without filler.

## 1. 結 論

콘크리트나 모르타용으로 이용되는 樹脂類는 주로 熟硬化性으로서 폐놀(phenol)수지, 不飽和 폴리에스터(unsatuated polyester)수지, 尿素(urea)수지 등이 있다.

이 연구에서 사용한 에폭시 수지는 값이 비교적 비싼편이지만 다른 폴리머류에 비해 각

種 物理的·力學的 性質이 우수한 것으로 알려져 있어 補修材나 補強材로 널리 이용되고 있다.

基礎的 性質 가운데 硬化收縮과 크리이프(creep)는 構造物의 안정에 지대한 요소로 작용하는 것으로서 不靜定 構造物일 경우 더 심한 영향을 받게 된다. 이러한 硬化收縮과 크리이프는 構造物에서 함께 일어나므로 分離하여 생각할 수 없으나 편의상 실제 분리하여 다루

\* 江原大學校 大學院 農工學科, 積士課程

\*\* 江原大學校 農工學科, 副教授

● 1989. 10. 2 접수, 본 논문에 대한 토론을 1990. 6. 30까지 본 학회에 보내주시면 1990. 9월호에 그 결과를 게재해 드리겠습니다.

고 있다.

지금까지의 研究結果들을 살펴볼 때, 強度, 弹性係數등 基礎的 성질에 대한 것들에 비해 硬化收縮과 크리이프에 대한 연구는 적은 편이지만 폴리머 콘크리트류의 크리이프는 시멘트 콘크리트와 달리 초기 크리이프가 매우 큰 것으로 알려져 있다.

따라서 이 研究에서는 構造物, 특히 複合材料에서 重要視되는 硬化收縮 및 初期 크리이프特性을 實驗的으로 究明함으로써 構造物에의 應用을 위한 基礎資料를 제공하는데 그 목적이 있다.

## 2. 材料 및 方法

### 2.1 使用材料

#### (1) 에폭시樹脂 및 硬化劑

에폭시樹脂의 形態는 化學的 構造에 따라 여러 가지가 있는데, 이 試驗에서 사용된 것은 콘크리트構造物用으로汎用化되고 있는 Epi-Bis型으로서一般的인 性質은 Table 1과 같다.

한편, 에폭시樹脂는 硬化劑와 混合되어야만 硬化가 進行되는데 이것 역시 化學的 構造에

Table 1.

General properties of the epoxy resin used.

Item	Values
Type of compound	Bisphenol A and epichlorohydrin
Appearance	Citrine and transparent
Viscosity at 25°C (P)	110–140
Specific gravity at 25°C (g/ml)	1.17
Epoxy equivalent	184–194
Molecular weight	370–400

따라 그 種類가 많다. 이 試驗에 使用된 硬化劑는 Amino polyamine類로서 Table 2와 같은

性質을 가지고 있다.

Table 2.

General properties of the epoxy resin used.

Item	Values
Type of compound	Aminopolyamine
Appearance	Deep brown and transparent
Viscosity at 25°C (P)	25–45
Specific gravity at 25°C (g /ml)	0.96

#### (2) 骨材

폴리머 콘크리트用骨材는 보통의 강모래와 강자갈을 使用할 수 있다. 단지 含水率이 0.1~0.5%範圍內에 있어야 하며, 硬化反應을 潟害하는 不純物을 含有하지 말아야 하는 것으로 되어 있다.

이 試驗에서 使用된 骨材는 洪川江에서 採取된 것으로 이에 대한 物理的 性質의 試驗結果는 Table 3과 같다.

#### (3) 充填材

增量效果를 目的으로 結合材와 함께 쓰이는 1~30μm 정도의 粒徑을 가진 充填材로는 無機質 분말인 微分 시리카(silica), 플라이애쉬(flyash), 重質탄산칼슘(CaCO<sub>3</sub>) 등이 利用되는 데, 이 試驗에서는 購入이 容易하고汎用化되어 있는 重質 탄산칼슘을 使用하였다.

Table 3.

Physical properties of the aggregate used.

Item	Specific gravity	Absorption (%)	Finess modulus
Fine aggregate	2.8	0.67	2.9
Coarse aggregate	2.6	0.57	6.4

## 2.2 配合比 決定

一般的으로 폴리머 콘크리트에 充填材를 添加하여 製造한 先行研究<sup>3,4,11,21)</sup>에 대한 研究 結果를 살펴본 바, 그 量을 全材料 重量의 4~8 %으로 取하고 있었다. 따라서, 이 研究에서는 이 範圍의 中간치인 6%를 充填材의 量으로

定하였다.

에폭시 樹脂 콘크리트의 配合比는 試行錯誤法에 의해 얻어진 最小空隙을 갖는 조골재와 세골재의 比率에 基礎를 두고 워커빌리티(workability)를 考慮하여 決定되었으며, 이 結果 얻어진 配合比는 Table 4와 같다.

Table 4.

Mix proportion of the epoxy resin concrete.

(Unit ; kg/m<sup>3</sup>)

Item	Without filler	6% filler
Epoxy resin	248.4	233.6
Coarse aggregate	891.7	838.7
Fine aggregate	891.7	838.7
CaCO <sub>3</sub>	—	121.0

## 2.3 供試體의 製作 및 養生

콘크리트의 配合에는 시멘트 콘크리트用 미서를 使用할 수 있으나 이 試驗에서는 物量이 적어 算비법을 하였고, 夾具은 棒하였다. 配合은 粗骨材, 細骨材, 充填材를 잘 混合한 후, 樹脂와 硬化劑가 5:1로 組合된 結合材를 投入하는 順序로 하였다.

試驗에 使用된 供試體의 칫수는 壓縮強度, 割裂引張強度 및 彈性係數 試驗用으로  $\phi 50 \times 100\text{mm}$ , 휨強度 試驗用으로  $60 \times 60 \times 300\text{mm}$ , 硬化收縮試驗用으로  $40 \times 40 \times 160\text{mm}$ , 크리아프 試驗用으로  $60 \times 60 \times 200\text{mm}$ 였다.

供試體는 타설후 3~4時間 室溫에서 硬化시킨 후 脫型하여 30°C로 調節된 恒溫器에서 7日間 養生하였다.

## 2.4 試驗方法

### (1) 強度試驗

壓縮強度 試驗은 KS F 2405에 規定된 試驗方法에 따라 수행되었으며, 強度는 다음 公式

으로 求하였다.

$$\sigma_c = P/A (\text{kg/cm}^2)$$

여기서  $\sigma_c$ 는 壓縮強度 ( $\text{kg/cm}^2$ ), A는 圓柱形 供試體의 斷面積 ( $\text{cm}^2$ )이고, P는 破壞荷重 ( $\text{kg}$ )이다.

割裂引張強度 試驗은 KS F 2423에 規定된 試驗方法에 따라 수행되었으며 強度는 다음 公式으로 求하였다.

$$\sigma_t = 2P/\pi d \ell (\text{kg/cm}^2)$$

여기서,  $\sigma_t$ 는 割裂引張強度 ( $\text{kg/cm}^2$ ), P는 破壞荷重 ( $\text{kg}$ ), d는 圓柱型 供試體의 直径 ( $\text{cm}$ ),  $\ell$ 는 圓柱型 供試體의 長さ ( $\text{cm}$ )이다.

휨強度 試驗은 KS F 2408에 規定에 따라 3等分點 荷重法으로 測定 되었으며 強度는 다음 式에 의하여 求하였다.

$$\sigma_b = P \ell / bh^2 (\text{kg/cm}^2)$$

여기서,  $\sigma_b$ 는 휨強度 ( $\text{kg/cm}^2$ ), b 및 h는 角柱型 供試體의 폭 ( $\text{cm}$ ) 및 높이 ( $\text{cm}$ ), P는 破壞荷重 ( $\text{kg}$ ),  $\ell$ 은 角柱型 供試體의 長さ이다.

## (2) 弹性系数 試験

弹性系数 試験은 KS F 2438을 引用하였으며 破壊強度의 40% 까지 荷重을 가했을 경우의 弹性變形을 測定하여 다음과 같이 求하였다.

$$E = \sigma / \epsilon$$

여기서,  $E$ 는 弹性系数,  $\sigma$ 는 應力( $\text{kg}/\text{cm}^2$ )이며,  $\epsilon$ 은 變形率로서 스트레인 게이지(콘크리트 용 60mm) 및 ダイアル 게이지( $1/100\text{mm}$ )를併用하여 測定하였다.

## (3) 硬化收縮

硬化收縮 試験은 KS F 2424의 规定을 引用하였으며, 供試體는 室溫에서 3~4時間 硬化시킨 후 恒溫器를 使用하여 10°C, 20°C, 30°C 및 40°C 溫度하에서의 硬化收縮 變形을 測定하였다.

## (4) 크리아프 試験

크리아프 試験은 ASTM C 512-76의 规定

에 따라 室溫에서 一軸壓縮荷重을 載荷하여 實施하였다. 試験은 應力-強度比를 30%, 40%, 50% 등 3가지로 變形시켜 수행되었으며, 供試體가 完全히 硬化되었기 때문에 硬化收縮으로 인한 영향을 考慮하지 않았다.

크리아프 變形( $\epsilon_c$ )은  $\epsilon_c = \epsilon_t - \epsilon_e$ 로, 크리아프係數( $\phi$ )는  $\phi = \epsilon_c / \epsilon_e = \epsilon_c \cdot E / \sigma$ 로 求하였다.

여기서,  $\epsilon_t$ 는 總變形,  $\epsilon_e$ 는 弹性變形,  $\sigma$ 는 應力( $\text{kg}/\text{cm}^2$ ),  $E$ 는 弹性系数( $\text{kg}/\text{cm}^2$ )이다.

## 3. 結果 및 考察

### 3.1 力學的 特性

에폭시樹脂 콘크리트의 力學的 特性을 究明하고자 壓縮強度, 割裂引張強度, 稟強度 및 弹性系数 試験을 한 바, 그 結果는 Table 5와 같다. 이 結果에서 보는 바와같이 充填材를 添加한 경우와 添加치 않은 경우를 比較하여 보면

Table 5.

Test results of strength and modulus of elasticity.

Item	Strength( $\text{kg}/\text{cm}^2$ )			Modulus of elasticity ( $\times 10^5\text{kg}/\text{cm}^2$ )
	Compressive	Splitting tensile	Bending	
Without filler	826	104	144	2.1
	Values	847	102	2.1
	863	108	134	2.7
	Mean	845	105	2.3
	Standard deviation	28.20	7.98	0.283
6% filler	815	108	148	2.0
	Values	847	98	2.0
	868	107	122	2.5
	Mean	843	104	2.2
	Standard deviation	32.20	9.47	0.203

壓縮強度, 割裂引張強度, 稟強度 모두 큰 差異를 보이지 않고 있다. 그러나, 強度들은 시멘트 콘크리트의 그것들에 비해 현저히 높게 나타났다. 특히, 壓縮強度에 대한 割裂引張強度 및 稟強度의 比가 크다는 것이 特徵의이라 하겠다.

한편, 弹性系数는 Table 5의 값과 Fig 1의 應力-變形率 關係圖에서 볼 수 있듯이 充填材가 있는 경우보다 약간 작게 나타나서 Ayyar<sup>1)</sup>등의 結果와一致하였다. 이는 모두가 시멘트 콘크리트의 弹性系数보다는 작은 값이라 하겠다.

이러한結果로 에폭시樹脂콘크리트를構造物에利用할경우 시멘트콘크리트에比해 높은強度를얻을수있는반면에큰變形性을同부할것임을豫測할수가있다.

따라서,彈性係數를크게하여變形量을작게할수있는에폭시樹脂콘크리트의開發에대한研究가필요하다고하겠다.

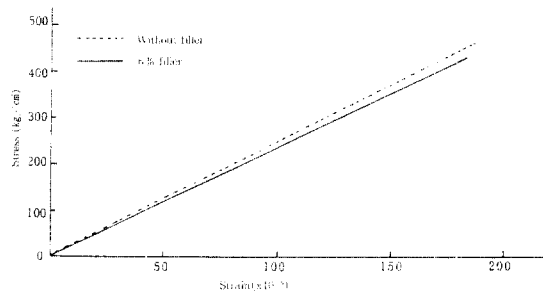


Fig. 1. Stress-strain relationship.

### 3.2 硬化收縮特性

一般的으로 시멘트콘크리트에서乾燥收縮(drying shrinkage)에영향을미치는要因은單位水量, 시멘트量과品質, 骨材量과品質, 공기량, 養生方法 및 部材의 모양과 크기 등으로되어있다.<sup>8, 12, 13)</sup>

그러나, 에폭시樹脂콘크리트의경우는물을포함하지않기때문에硬化收縮(hardening shrinkage)으로불리우고있으며, 이에미치는영향도同一하다고볼수는없다.

여기에서는充填材의有無, 保管溫度, 經過時間에 따른에폭시樹脂콘크리트의硬化收縮에대한試驗을하였던바, 그結果는Table 6과같으며, 이것을圖示하면Fig. 2, 3 및 4와같다.

Fig. 2는充填材를포함치않는경우의保管溫度, 經過時間과硬化收縮의關係를나타낸

것이다.

이關係에서保管溫度가上昇할수록硬化收縮은增加하였는데, 40°C의경우는약80시간, 30°C의경우는약120시간, 20°C의경우는약140시간이후부터硬化收縮이더增加하지않는경향을보였다.

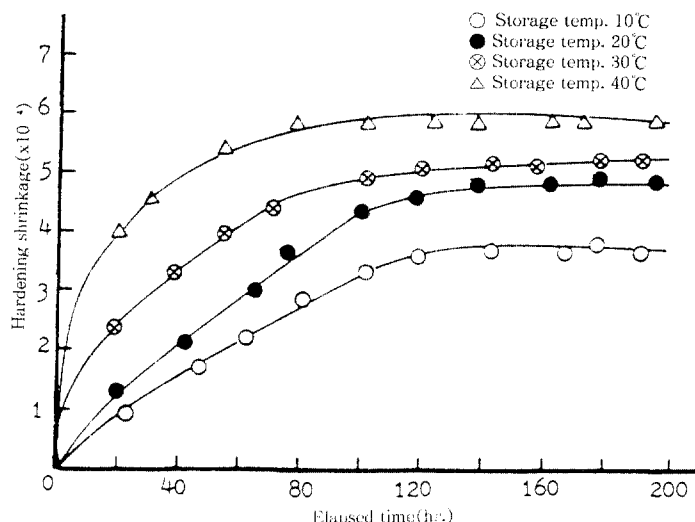


Fig. 2. Elapsed time vs. hardening shrinkage of epoxy resin concrete without filler.

Fig. 3은充填材6%를넣은경우保管溫度別經過時間과硬化收縮의關係인데, 이경우도保管溫度가上昇할수록硬化收縮은크게나타났다.硬化收縮량이더增加하지않고一定하게維持되는시간은약40°C및30°C에서약90시간, 20°C및10°C에서약130시간이었다.

이러한結果들로부터硬化收縮은保管溫度가높을수록빠르게일어나고充填材를添加한경우가添加치않은경우보다조금빠르게硬化收縮이일어남을알수있었다.

Fig. 4는保管溫度와硬化收縮關係를나타낸것이다.여기서도保管溫度가上昇할수록硬化收縮이커짐을알수있으며, 20°C와30°C에서는緩慢한硬化收縮의增加를보였다.溫度變化에따른硬化收縮의振幅은充填材를

Table 6. Test results of the hardening shrinkage.

Item	Storage temperature(°C)	Elapsed time(hr.)	Hardening shrinkage( $\times 10^{-4}$ )
Without filler	10	10	0.83
		30	1.21
		50	1.72
		100	3.21
		200	3.65
	20	10	0.77
		30	1.58
		50	2.75
		100	4.31
		200	4.96
6% filler	30	10	1.95
		30	3.04
		50	3.74
		100	4.85
		200	5.14
	40	10	3.19
		30	4.52
		50	5.29
		100	5.81
		200	5.81
6% filler	10	10	0.72
		30	1.81
		50	2.43
		100	3.94
		200	4.16
	20	10	1.21
		30	2.27
		50	3.09
		100	4.63
		200	4.95
6% filler	30	10	1.82
		30	3.64
		50	4.69
		100	5.06
		200	5.15
	40	10	2.49
		30	4.09
		50	5.04
		100	5.52
		200	5.52

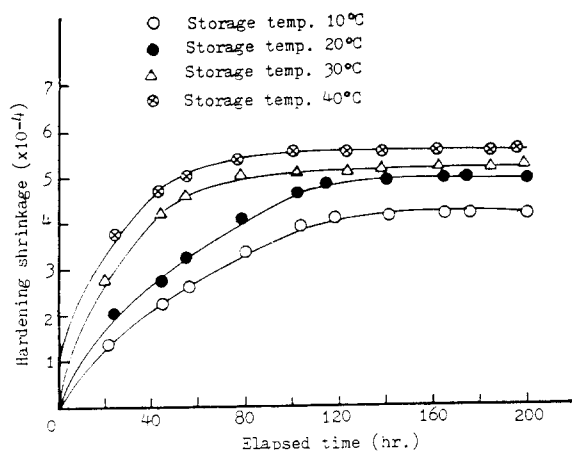


Fig. 3. Elapsed time vs. hardening shrinkage of epoxy resin concrete with 6% filler.

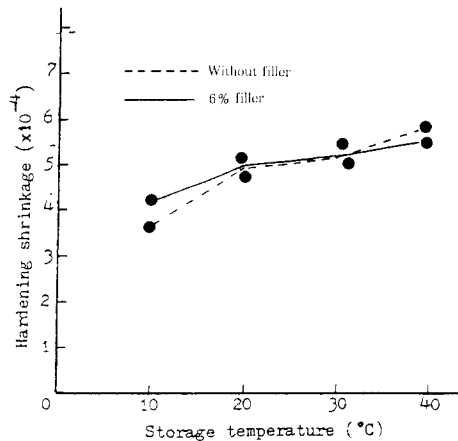


Fig. 4. Relation between storage temperature and hardening shrinkage.

添加한 경우가  $3.65 \times 10^{-4} \sim 5.81 \times 10^{-4}$ , 添加치 않은 경우가  $4.16 \times 10^{-4} \sim 5.52 \times 10^{-4}$ 로서 添加치 않은 경우가 더 크게 나타난 것으로 보아充填材는 硬化收縮의 幅을 줄이는 効果가 있음을 알 수가 있다.

### 3.3 크리이프 特性

一般的으로 콘크리트의 크리이프에 영향을 미치는 要因으로는 結合材의 性質, 骨材의 粒度, 載荷時의 材令, 載荷期間中の 溫度와 濕度, 載荷應力의 크기 등을 들 수 있다.<sup>5, 7, 12)</sup>

시멘트 콘크리트의 경우 載荷時의 材令이

짧을수록, 載荷時間이 길수록 크리아프는 크며, 크리아프의 增加比率은 載荷時間에 따라減少하는데, 3개월에 50%, 1년에 거의 100%가 일어나는 것으로 되어있다.<sup>24)</sup> 그러나, 폴리머 콘크리트의 경우는 載荷 15~20일에 全體 크리아프의 80~90%를 나타내는 것으로 되어 있다.<sup>1)</sup>

따라서, 여기에서는 載荷時間은 340시간 까지로 하여 充填材의 添加有無, 應力-強度比와 載荷시간에 따른 크리아프變形을 室溫에서 試驗하였던바, 그結果는 Table 7과 같으며, 이結果에는 總變形, 彈性變形, 크리아프變形, 크리아프係數 등이 나타나 있다. 그리고, 이結果를 利用하여 充填材의 有無에 따른 載荷시간과 크리아프變形의 關係를 보인 것이 Fig. 5와 Fig. 6이다.

Table 7에서 볼 수 있는 바와같이 充填材가 添加된 경우는 添加되지 않을 경우보다 總變形, 彈性變形, 크리아프變形 및 크리아프係數가 모두 약간 크게 나타났다. 그리고 應力-強度比( $S/S_{ult}$ )가 클수록 彈性變形과 크리아프變形은 커졌으나 크리아프係數는 그렇지 않음을 알 수 있었으며, 構造物 設計에 重要한 資料로 利用되는 크리아프係數는 대체적으로 1.2~1.5範圍였다.

Fig. 5에서 보인바와 같이 充填材가 添加되지 않을 경우 載荷時間 및 應力-強度比( $S/S_{ult}$ )가 增加함에 따라 크리아프變形은 增加했으며, 最大값은  $S/S_{ult}=0.3$ 에서  $1,440 \times 10^{-6}$ ,  $S/S_{ult}=0.4$ 에서  $2,120 \times 10^{-6}$ ,  $S/S_{ult}=0.5$ 에서  $2,365 \times 10^{-6}$ 을 나타냈다.

또한, Fig. 6에서 볼 수 있듯이 充填材가 添加된 경우에도 載荷時間 및 應力-強度比( $S/S_{ult}$ )가 增加함에 크리아프變形이 增加했는데 最大값은  $S/S_{ult}=0.3$ 에서  $1,540 \times 10^{-6}$ ,  $S/S_{ult}=0.4$ 에서  $2,445 \times 10^{-6}$ ,  $S/S_{ult}=0.5$ 에서  $2,825 \times 10^{-6}$ 을 나타냈다.

이結果에서 初期 크리아프變形은 充填材가 添加된 경우가 添加되지 않은 경우보다 크게 나타났고,  $S/S_{ult}=0.4$ 와  $S/S_{ult}=0.5$ 사이에서 보다

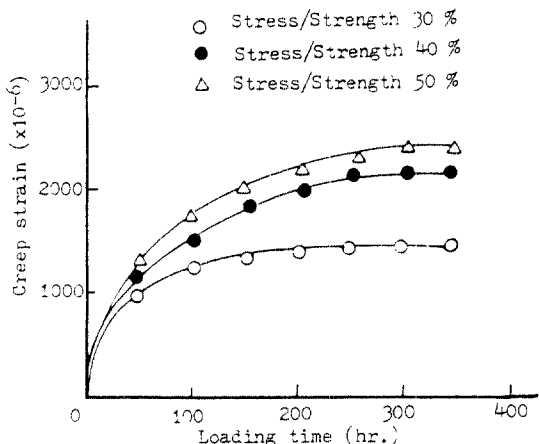


Fig. 5. Relation between loading time and creep strain of epoxy resin concrete without filler.

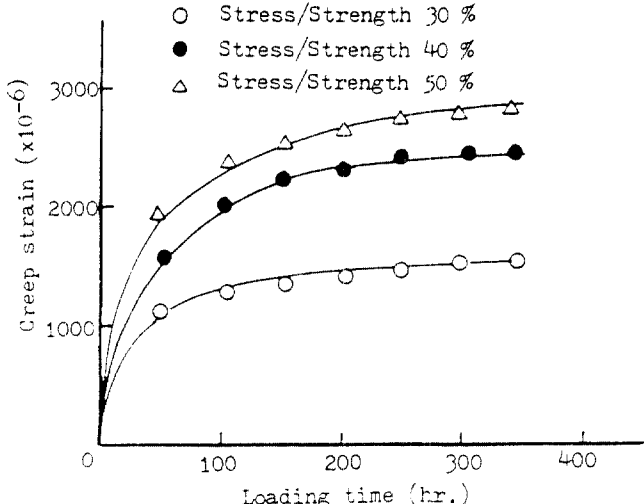


Fig. 6. Relation between loading time and creep strain of epoxy resin concrete with 6% filler.

$S/S_{ult}=0.3$ 과  $S/S_{ult}=0.4$  사이에서 큰 差異를 보였으며, 載荷時間이 增加함에 따라 크리아프增加幅은 낮게 나타났다.

한편, 크리아프와 載荷時間의 關係를 나타내는 데는 指數로 表現하는 方法, 對數로 表現하는 方法 등이 있으나 가장 널리 쓰이는 것은 Ross와 Sorman에 의해 제안된 雙曲線으로 表現하는 方法이다.<sup>2, 17)</sup>

그식은  $C = T/a + bT$ 로 표시되며, 여기서  $C$ 는 크리아프變形,  $T$ 는 載荷時間이다. Fig. 5와 Fig. 6의 바로 이方法에 의해서 그려진 것이다.

Table 7.

Test results of the creep strains.

Item Comp. strength	Stress/ Strength Working Stress	Loading time (hr.)	Total strain ( $\epsilon_t$ , $\times 10^{-6}$ )	Elastic strain ( $\epsilon_e$ , $\times 10^{-6}$ )	Creep strain ( $\epsilon_c$ , $\times 10^{-6}$ )	Creep coefficient ( $\phi = \epsilon_c / \epsilon_e$ )
Without filler $\sigma_c = 845$ (kg/cm <sup>2</sup> )	$\sigma_w = 254$ (kg/cm <sup>2</sup> )	0	1210	1210	0	0
		10	1850		640	0.53
		30	2115		905	0.75
		50	2200		990	0.82
		100	2440		1230	1.02
		200	2600		1390	1.15
		340	2650		1440	1.19
Without filler $\sigma_c = 845$ (kg/cm <sup>2</sup> )	$\sigma_w = 338$ (kg/cm <sup>2</sup> )	0	1610	1610	0	0
		10	2315		705	0.44
		30	2650		1040	0.65
		50	2810		1200	0.75
		100	3120		1510	0.94
		200	3570		1960	1.22
		340	3730		2120	1.32
Without filler $\sigma_c = 845$ (kg/cm <sup>2</sup> )	$\sigma_w = 423$ (kg/cm <sup>2</sup> )	0	2010	2010	0	0
		10	2850		840	0.42
		30	3106		1096	0.55
		50	3330		1320	0.66
		100	3750		1740	0.87
		200	4210		2200	1.09
		340	4375		2365	1.18
Without filler $\sigma_c = 845$ (kg/cm <sup>2</sup> )	$\sigma_w = 253$ (kg/cm <sup>2</sup> )	0	1240	1240	0	0
		10	2065		825	0.67
		30	2290		1050	0.85
		50	2370		1130	0.91
		100	2510		1270	1.03
		200	2640		1400	1.13
		340	2780		1540	1.24
6% filler $\sigma_c = 842$ (kg/cm <sup>2</sup> )	$\sigma_w = 337$ (kg/cm <sup>2</sup> )	0	1660	1660	0	0
		10	2890		1230	0.74
		30	3020		1360	0.82
		50	3230		1570	0.95
		100	3665		2005	1.21
		200	3970		2310	1.39
		340	4105		2445	1.47
6% filler $\sigma_c = 842$ (kg/cm <sup>2</sup> )	$\sigma_w = 421$ (kg/cm <sup>2</sup> )	0	2080	2080	0	0
		10	3380		1300	0.63
		30	3840		1760	0.85
		50	4100		2020	0.95
		100	4445		2365	1.14
		200	4720		2640	1.27
		340	4905		2825	1.36

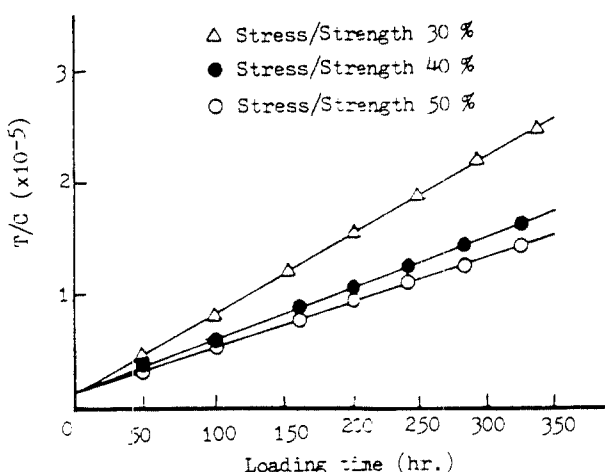


Fig. 7. Relation  $C = T/(a + bT)$ ,  $T/C$  vs.  $T$  of epoxy resin concrete without filler.

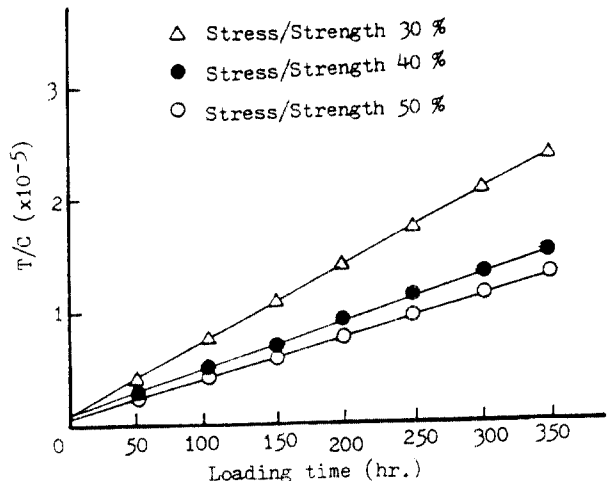


Fig. 8. Relation  $C = T/(a + bT)$ ,  $T/C$  vs.  $T$  of epoxy resin concrete with 6% filler.

Table 8. Values of  $a$  and  $b$  in relation  $C = T/(a + bT)$

Item	Ultimate compressive strength ( $\text{kg}/\text{cm}^2$ )	Stress/Strength ratio	$a$	$b$
None filler	845	0.3	$1.26 \times 10^{-6}$	$6.7 \times 10^{-8}$
		0.4	$1.66 \times 10^{-6}$	$4.3 \times 10^{-8}$
		0.5	$1.52 \times 10^{-6}$	$3.8 \times 10^{-8}$
6% filler	842	0.3	$1.00 \times 10^{-6}$	$6.4 \times 10^{-8}$
		0.4	$0.94 \times 10^{-6}$	$3.9 \times 10^{-8}$
		0.5	$0.65 \times 10^{-6}$	$3.4 \times 10^{-8}$

위의 方程式에서 係數  $a$ 와  $b$ 는 式을 直線回歸方程式의 形태인  $T/C = a + bT$ 로 變形하여 놓고 求하였다. 따라서 載荷時間( $T$ )와  $T/C$ 의 關係를 直線으로 나타낸 것이 Fig. 7과 Fig. 8이며, 이 같은 直線回歸方程式으로 부터 求해진 變數  $a$  및  $b$ 값을 Table 8에 나타내었다. 이는 載荷時間이 주어질 경우 應力-強度比別 애포시 樹脂 콘크리트의 初期 크리아프 變形을 推定하는데 유용하게 利用될 수 있을 것이다.

단지 이 研究는前述한 바와같이 室溫에서 测定한 것으로서 渦度에 따른 크리아프 特性도 明確되어야 할 것으로 思料된다.

#### 4. 結論

i) 研究는 充填材의 有無에 따른 애포시 樹脂 콘크리트의 硬化收縮과 初期 크리아프 特性을 實驗的으로 明確한 것이다. 硬化收縮 試驗은  $40 \times 40 \times 160\text{mm}$  角柱型 供試體에 의해 保管溫度  $10^\circ\text{C}$ ,  $20^\circ\text{C}$ ,  $30^\circ\text{C}$  및  $40^\circ\text{C}$ 에서 测定되었고, 初期 크리아프 試驗은  $60 \times 60 \times 200\text{mm}$  供試體에 壓縮을 가하여 應力-強度比가 0.3, 0.4 및 0.5일 경우 室溫에서 测定되었다.

ii) 研究에서 얻어진 結果를 要約하면 다음과 같다.

1. 애포시 樹脂 콘크리트의 壓縮, 割裂引張

몇 힘강도는 시멘트 콘크리트에 비해 상당히 높았으나 弹性係數는 작게 나타났으며, 充填材의 添加가 이들 力學的 特性에는 큰 영향을 미치지 않는 것으로 나타났다.

2. 硬化收縮은 保管溫度가 높아질수록 커졌고, 充填材를 使用한 경우가 使用치 않는 경우보다 溫度의 영향을 더 크게 받는 것으로 나타났으며, 硬化收縮係數는  $3.6 \times 10^{-4} \sim 5.8 \times 10^{-4}$ 範圍였다.

3. 初期 크리이프는 載荷時間과 應力-強度比가 增加함에 따라 增加했고 弹性變形이 클수록 커졌다. 또한, 이값은 充填材가 添加된 경우가 添加되지 않은 경우보다 더 크게 나타났으며, 크리이프 係數는 1.2~1.5範圍였다.

### 참 고 문 헌

1. Ayyar, R. S., and Desphande, S. N., "Creep Studies on Polymer Mortars", Proceedings of the Third International Congress on Polymers in Concrete, 504-523, 1981.
2. Ayyar, R. S., and Desphande, S. N., "Creep Studies on Polymer Mortars", Proceedings of the Fourth International Congress on Polymers in Concrete, 487-493, 1984.
3. Ayyar, R. S., Joshi, S. N., & Desphande, S. N., "Creep of Polymer Concrete at Elevated Temperature", Third International Congress on Polymers in concrete, 103-107, 1987.
4. Armeniades, C. D., & Stormer, J. C., and Haque, E., "Cure Shrinkage Control with Strength Enhancement in Polymer Concrete by Combining Polymerization with Mineral Dehydration : Montmorillonite Polymer Concrete", Proceeding of the Fifth International Congress on Polymers in Concrete, 187-191, 1987.
5. Armeniades, C. D., and Dharmarajan, N., "A Constitutive Equation for Creep in Polymer Concrete", Ibid., 193-197, 1987.
6. Bryant A. H., and Badhanavikkit, C., "Creep, Shrinkage-Size, and Age at Loading Effects", ACI Materials Journal, 117-123, 1987.
7. Bažant, Z. P., Kim, J. K., Wittmann, F. H., and Alou, F., "Statistical Extrapolation of Shrinkage Data - Part II : Bayesian Updating", ACI Materials Journal, 83-91, 1987.
8. Brüll, L., Konlos, K., Majzlan, B., "Early Shrinkage of Cement Pastes, Mortars, and Concrete", Materiaux et Constructions, Vol.13, No.73, 41-45, 1980.
9. Clarke, G., Scholz, H., and Alexander, M., "New Method to Predict the Creep Deflection of Cracked Reinforced Concrete Flexural Members", ACI Materials Journal, 95-101, 1988.
10. Gunasekaran, M., and Antwerp, E., "The Creep of Polymer Impregnated Light Weight Concrete", Proceedings of the First International Congress on Polymers in Concrete, 54-57, 1975.
11. Hristova, J., "Influence of Sorbed Liquid and Temperature on Polyester Polymer Concrete Creep Behaviour", Ibid., 237-240, 1984.
12. Rüsch H., Jungwirte D., Hilsdorf H. K., "Creep and Shrinkage" Spring-Verlag New York Inc., 3-64, 1982.
13. Almudaigeem J. A., and Hansen, W., Effect of Specimen Size and Shape on Drying Shrinkage of Concrete", ACI Materials Journal, 130-135, 1987.
14. Kawano, T., "Studies on the Mechanism of Reducing Drying Shrinkage of Cement Mortars Modified by Rubber Latex", Pro-

- ceedings of the Third International Congress on Polymers in Concrete, 147–162, 1981.
15. Kawakami, M., Tokuda, H., Ishizaki, K., Kagaya, M., & Takahasil., "Thermal Stress and Shrinkage Stress of Concrete Polymer Composite Cylinders", Proceedings of the Fifth International Congress on Polymers in Concrete, 209–214, 1987.
  16. Nasser, K. W., and Morzouk, H. H., "Creep of Concrete at Temperatures from 70 to 450° F Under Atmospheric Pressure", ACI Journal, 147–150, 1981.
  17. Mangat, P. S., Baggott, R., Evans, and D. A., "Creep Characteristics of Polymer Modified Concrete Under Uniaxial Compression", Proceedings of the Third International Congress on Polymers in Concrete, 193–208, 1981.
  18. Morgan, D. R., "The Effects of Chemical Admixtures on Creep in Concrete", Civil Engineering Transaction, 7–11, 1974
  19. Ohanma, Y., Nawta, K., and Kobayashi, T., "Reduction in Setting Shrinkage of Poly-methyl Methacrylate Concrete", Proceeding of the Fifth Congress on Polymers in Concrete, 179–184, 1987.
  20. Ohama, Y. and Sugahara, T., "Drying Shrinkage of Steel Fiber Reinforced Polymer–Modifide Mortars", Proceedings of the Third International Congress on Polymers in Concrete, 250–260, 1981.
  21. Okada, T., and Konaka, T., "Low Shrinkage Mechanism in Singlephase and Twophase Unsaturated Polyester Resin Mortar System", Proceedings of the Third International Congress on Polymers in concrete, 447–461, 1981.
  22. Richard, G. K., "Mechanical and Durability Investigation of Substituted Methacrylate Polymer Concrete System", Research Report of Rogm and Hass Company, Pennsylvania, 19–23, 81–87, 1984.
  23. Stawowy, T., "Polymer Concrete made on Polyester Resin Basis with Very Low Shrinkage and the Possibilities of Reinforcement Resulting Thereof", Proceedings of the Fourth International Congress on Polymers in Concrete, 257–262, 1984.
  24. William, L. G., "Creep of Concrete in Variable Environments", ASCE Structural Division, 2211–2221, 1982.
  25. Watanabe, A., and Yamasaki, T., "Studies on Gardening Shrinkage Stress of REsin Concrete", Proceedings of the Third International Congress on Polymers in Concrete, 435–446, 1981.